

Raf-1 基因重组腺病毒 siRNA 载体构建及其 对大鼠心肌细胞肥大的影响

郑亚萍1.刘春杰2

(漯河医学高等专科学校 1. 生理教研室, 2. 药理教研室, 河南 漯河 462002)

【摘要】 目的 构建特异性抑制大鼠 Raf-1 基因的重组腺病毒载体,并将其体外转导大鼠心肌细胞中进行功能鉴定。方法 合成针对大鼠 Raf-1 的靶序列及阴性对照序列,经退火形成的 DNA 双链定向克隆到穿梭质粒pAdTrackCMV 中获得 pAdTrack-siRaf-1 质粒,PmeI 线性化后在 BJ5183 细菌中与 pAdEasy-1 骨架质粒进行同源重组获得 pAd-siRaf-1 质粒,后转染 HEK293 细胞,包装获得 pAd-siRaf-1 腺病毒颗粒,继而感染原代培养的心肌细胞,通过 Western blot 方法检测 siRNA 对 Raf-1、NF-κB 基因的抑制效率,液体闪烁计数仪测定³H-亮氨酸([³H]-leu)掺入率,用 HJ2000 图像分析系统测定细胞表面积。结果 重组腺病毒载体经酶切、鉴定正确,制备的病毒感染效率高,携带 Raf-1 的病毒颗粒能够在蛋白水平有效抑制 Ang II 诱导心肌细胞 Raf-1 的表达、细胞表面积及[³H]-leu 的增加并下调 Raf-1、NF-κB 表达。结论 成功构建了 pAd-siRaf-1 重组腺病毒载体,并在 HEK293 细胞中包装成重组腺病毒,转染心肌细胞后能有效抑制 Raf-1、NF-κB 表达,抑制 Ang II 诱导的心肌细胞肥大。

【关键词】 Raf-1;小干扰 RNA;重组腺病毒载体;心肌细胞;大鼠

【中图分类号】R-33 【文献标识码】A 【文章编号】1671-7856(2016) 04-0018-06

doi: 10. 3969. j. issn. 1671 - 7856. 2016. 04. 004

Construction and effect of recombinant adenovirus vector containing siRNA targeting Raf-1 on cardiomyocyte hypertrophy in neonatal rats

ZHENG Ya-Ping¹, LIU Chun-Jie²

(1. Department of Physiology, 2. Department of Pharmacology, Luohe Medical College, Luohe, Henan 462002, China)

[Abstract] Objective To construct an adenovirus vector expressing small interfering RNA (siRNA) targeting to rat Raf-1 gene and identify its function in cardiomyocytes. Methods The siRNA containing DNA sequence targeting to Raf-1 and its negative control sequence were designed, synthesized, annealed and subcloned into adenoviral shuttle vector pAdTrack-CMV. The recombinant adenovirus vector pAd-siRaf-1 was obtained by homologous recombination with pAdTrack-siRaf-1 linearized by PmeI and pAdeasy-1 in bacteria BJ5183, then transfected into HEK293 cells to package the adenovirus. Cardiomyocytes were infected with the adenovirus pAd-siRaf-1, and the expressions of Raf-1 and NF-κB protein were detected by Western blotting. [³H]-leu incorporation was evaluated by scintillation. The surface area of cardiomyocytes was measured using a HJ2000 image analysis system. Results The adenovirus vectors were verified by enzyme digestion and DNA sequencing. Compared with the Ang II group, Raf-1 and NF-κB expression, the surface area and [³H]-leu incorporation of cardiomyocytes were significantly decreased in cardiomyocytes infected with the adenovirus PAd-siRaf-1. Conclusions A recombinant adenovirus vector containing rat siRaf-1 gene is successfully constructed. It can effectively reduce Raf-1 and NF-κB expression and cardiomyocyte hypertrophy induced by Ang II.

[Key words] Raf-1; siRNA; Recombinant adenovirus vector; Cardiomyocytes; Rat

Raf-1 蛋白是由 raf 基因编码的蛋白产物,可通 过 Raf-1 蛋白激酶磷酸化而激活, Raf-1 蛋白激酶是 RAF/NF-кB 等信号传导途径中的重要信号分子,被 激活的 Raf-1 过表达与细胞增殖、应激甚至与凋亡 密切相关[1,2],但目前 Raf-1 对心肌肥厚中的作用还 存在一定的争议。研究显示 RAS/RAF/MEK/ERK 信号通路对大鼠心肌有明显的促肥厚效应, 但也有 报道提示抑制 RAS/RAF 激活并不能减轻心肌细胞 肥大反应[3,4]。另一方面,目前在心肌肥大细胞模 型中, 暂无明确研究证明 NF-κB 与心肌细胞肥大的 关系,且 RAF/NF-κB 等信号传导途径对心肌肥大 的作用也少见报道,尚需进一步研究。本研究的目 的在于拟构建大鼠 Raf-1siRNA 腺病毒载体,转染后 观察其对 Raf-1 蛋白表达的影响,并通过在基因水 平沉默技术研究 Raf-1 及 RAF/NF-κB 等信号传导 途径对心肌细胞肥大的影响, 为探讨 Raf-1 对心肌 肥厚的作用提供实验依据。

1 材料和方法

1.1 实验动物

出生 2~3 d SD 乳鼠,由河南省实验动物中心提供,生产许可证号: SCXK(豫) 2010 - 0002,使用许可证号:SYXK(豫) 2011 - 0001。

1.2 材料及试剂

穿梭质粒 pAdTrackCMV 质粒、腺病毒骨架质粒 pAdeasy-1 购自 Stratagene 公司、293 细胞株购自 Invitrogen 公司、感受态大肠埃希菌 DH5a 及 BJ5183 菌种来自本实验室留存; PacI、PmeI、Kpn I 和 Bgl II 酶购自 New England Biolabs 公司, Raf-1 克隆抗体、NF-κB 多克隆抗体购自 Santa Cruz 公司, [³H]-亮氨酸([³H]-Leu)购于中国原子能研究院。

1.3 心肌细胞的培养及鉴定

取出生后 2 d ~ 3 d 的 SD 乳鼠,在无菌条件下取出心室并剪碎,在 0.1% 胰酶消化后收集细胞,离心弃上清液,将所得全部细胞用含 10% 小牛血清的 DMEM 培养液重悬,置于二氧化碳培养箱中孵育,采用差速贴壁获得心肌细胞,免疫组化染色显示 α-横纹肌肌动蛋白阳性率。

1.4 Raf-1 基因重组腺病毒 siRNA 载体构建

1.4.1 Raf-1 siRNA 序列的设计:从 GenBank 中获得 SD 大鼠基因核苷酸序列(NM_012639.2),通过 http://sirna. wi. mit. edu/home. php 辅助设计出 3 条靶序列, 1. siRaf-1-1 (1612 - 1630): TTCCAGATGTTCCAGCTAA; 2. siRaf-1-2(776 - 794): ATGGATTTCGAT GTC AGAC; 3. siRaf-1-3(2067 - 2085) AGTCAAAGAAGAAGGCCT,将所选取的序列进行 Blast,未发现同源序列,另设 siRNA 阴性对照(与人类及其他哺乳动物非同源的无关序列)。人工合成针对 Raf-1 不同靶序列的 3 对及 siRNA 阴性对照序列 1 对引物,每对互补的单链模板 DNA 在正义链的 5'端引入 Kpn I 酶切位点、在反义链的 5'端引入 Bgl II 酶切位点,环(Loop)的序列为 5'-GCAAGAG -3'(表1)。

1.4.2 重组腺病毒载体 pAd-Raf-1-siRNA 的构建及鉴定:合成四对寡核苷酸经 95℃ 退火后形成双链寡核苷酸,与 Kpn I 和 Bgl II 双酶切 pAdTrackCMV质粒连接,转入大肠埃希菌 DH5a 转化,通过卡那霉素筛选并挑取单个菌落进行培养,抽提质粒后分别进行酶切鉴定和测序鉴定。用 PmeI 对 pAdTrack-siRaf-1 和阴性对照 pAdTrack-siCon 穿梭载体进行线性化,CIP 去磷酸化后,在大肠杆菌 BJ5183 中与腺病毒骨架质粒 pAdEasy-1 进行同源重组,获取 pAd-siRaf-1 及 pAd-siCon 用带有卡那霉素(50 μg/mL)的 LB 平板进行筛选相对分子质量大于 pAdeasy-1

表 1 Raf-1 和阴性对照 siRNA 模板 DNA 序列

Tab. 1 Sequences of the Raf-1 and negative control siRNA template DNA

靶位点	SiRNA 模板序列 SiRNA template sequence			
Target site				
siRaf-1-1	F:5'-GTACTTCCAGATGTTCCAGCTAAGCAAGAGTTAGCTGGAACATCTGGAATTTTTG-3'			
	R:5'-GATCCAAAAATTCCAGATGTTCCAGCTAACTCTTGCTTAGCTGGAACATCTGGAA-3'			
siRaf-1-2	F:5'-GTACATGGATTTCGATGTCAGACGCAAGAGGTCTGACATCGAAATCCATTTTTTG-3'			
	R:5'-GATCCAAAAAATGGATTTCGATGTCAGACCTCTTGCGTCTGACATCGAAATCCAT-3'			
siRaf-1-3	F:5'-GTACAGTCAAAGAAGAAAGGCCTGCAAGAGAGGCCTTTCTTCTTTGACTTTTTTG-3'			
	$R:\!5'.GATCCAAAAAAGTCAAAGAAGAAGAAGGCCTCTCTTGCAGGCCTTTCTTCTTTGACT-3'$			
Negative control(siCon)	F: 5' - GTACTTCTCCGAACGTGTCACGTGCAAGAGACGTGACACGTTCGGAGAATTTTTG-3'			
	$R_{:}5\text{'}-GATCCAAAAATTCTCCGAACGTGTCACGTCTCTTGCACGTGACACGTTCGGAGAA-3\text{'}}$			

质粒, Pacl 酶切鉴定。

1.4.3 腺病毒的包装、扩增和滴度测定:重组腺病毒载体经 PacI 酶切、乙醇纯化后, Lipofectamine 2 000转染入 293 细胞中。培养 5 d~7 d 后可见细胞出现贴壁细胞变圆,肿胀,即病变效应(cytopathic effect, CPE),待观察到 90%以上细胞出现 CPE,将细胞在-70℃和 37℃反复冻融 3次,3 000 r/min 离心 5 min,收集原代病毒上清液,经反复"感染-冻融-收集",扩增重组腺病毒至第四代后,合并浓缩病毒液,进行病毒的滴度测定,病毒滴度(Pfu/mL)=10⁷×平均 GFP 阳性的细胞数/视野(100)

1.5 心肌细胞培养、鉴定

取出生 2 d~3 d的 SD 乳鼠,在无菌条件下取出心室,剪碎、0.1% 胰酶消化,收集细胞,离心弃上清液,将所得全部细胞用含 10% 胎牛血清的 DMEM培养液重悬,置于二氧化碳培养箱中孵育。根据心肌细胞和成纤维细胞贴壁时间不同,采用差速贴壁1.5 h,获得心肌细胞。免疫组化染色(S-P法)观察α-横纹肌肌动蛋白反应。

1.6 Western blot 检测 siRaf-1、NF-κB 在肥大心 肌细胞中的表达

胰酶消化细胞后,以每孔 1.5×10^5 /孔的心肌细胞数接种 6 孔板,用获得重组腺病毒按 50MOI 的量分别感染心肌细胞的同时加用 10^{-7} mol/L Ang II, 另设 Ang II 组(单用 10^{-7} mol/Lang II) 及空白心肌细胞组(不加处理因素),48 h 收集细胞后提取各组细胞的蛋白质,电泳、转膜后加封闭液,室温封闭60 min;加入稀释 1:2~000 Anti-rat Raf-1、1:500 NF-κB 一抗孵育,4 $\mathbb C$ 摇床过夜;洗涤 3 次用封闭液 1:5~000 稀释辣根过氧化物酶(HRP)标记的二抗,37 $\mathbb C$ 孵育 1 h;漂洗后加显色剂,避光显色 2 min ~ 5 min,条带出现,终止反应,以 β -actin 为内参,进行比较。

1.7 心肌细胞大小测定

每孔 1.5 × 10⁵/孔的心肌细胞数接种 6 孔板, 用获得重组腺病毒按 50MOI 的量分别感染心肌细胞的同时加用 10⁻⁷ mol/L Ang II, 另设 Ang II 组(单用 10⁻⁷ mol/Lang II) 及空白心肌细胞组(不加处理因素),胰酶消化脱落细胞后用相差显微镜拍照,每孔取 10 个视野,每视野取 10 个细胞,用 HJ2000 图像分析系统测定细胞表面积,取平均值。

1.8 心肌细胞 [3H]-Leu 掺入率测定

加药物干预的同时加入[3H]-Leu(3.7 × 104

Bq/孔),培养 48 h 后用 PBS 液充分冲洗,再将细胞 收集于玻璃纤维滤膜上,用预冷的 10% 三氯乙酸和 PBS 冲洗,裂解液裂解细胞 30 min,收集细胞裂解液 置于含闪烁液的液闪杯中,用液体闪烁仪测定放射性强度(dpm)。

1.9 统计学方法

采用 SPSS 10.0 统计软件,计量资料用 $\bar{x} \pm s$ 描述,组间比较采用方差分析,P < 0.05 表示有统计学意义。

2 结果

2.1 重组腺病毒载体的构建及鉴定

四对 siRNA 单链寡核苷酸成功退火,合成四个双链 DNA 模板,得到约 100 bp 的两个片段。抽提pAdTrack-siRaf-1 和 pAdTrack-siCon 质粒后分别进行 Kpn I 和 Bgl II 双酶切鉴定,出现约 9 000 bp 和小于 100 bp 两片段(图 1);将构建成功的穿梭质粒与腺病毒骨架质粒 pAdeasy-1 在 BJ5183 细菌中进行同源重组,成功重组的腺病毒载体经 PacI 酶切后应出现一条大于 23 kb,另一条带约为 4.3 kb(图 2),测序鉴定明 3 个针对不同靶序列的 Raf-1 及阴性对照表达载体正确无误。

2.2 重组腺病毒的包装、扩增及滴度测定

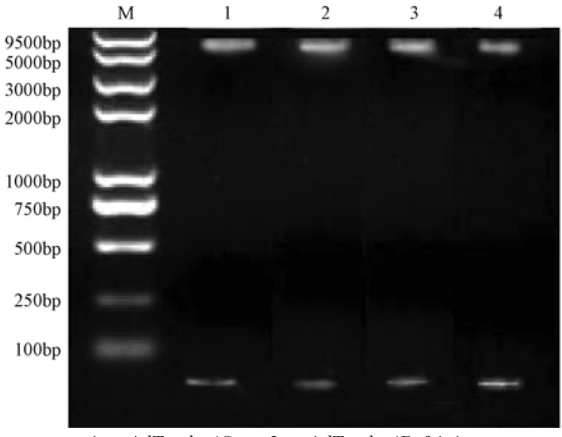
pAd-siRaf-1 及 pAd-siCon 转染包装细胞 293 细胞,转染 2 d 后,倒置荧光显微镜下可观察到绿色荧光蛋白的表达,培养细胞 10 d 后可观察到 90% 以上细胞表达绿色荧光蛋白(图 3)。收集、重复感染293 细胞扩增病毒后,用 GFP 阳性细胞计数法进行滴度测定,病毒滴度分别为 3.8×10^{10} pfu/mL 和 3.5×10^{10} pfu/mL。

2.3 心肌细胞鉴定

心肌细胞形态不规则,有多个伪足伸出;免疫组化染色显示,α-横纹肌肌动蛋白呈阳性反应即为心肌细胞,取20个视野统计心肌细胞阳性率测得心肌细胞阳性率达96.2%(图4、图5)。

2.4 pAd-siRaf-1 表达重组腺病毒病毒对 Ang II 诱导的心肌细胞表面积、[³H]-Leu 掺入率及 Raf-1、NF-κB 蛋白表达的影响

Ang II 组心肌细胞表面积、[3 H]-Leu 掺入率及 Raf-1、NF-κB 蛋白表达显著高于空白对照组(均 2 P<0.01); siRaf-1-1~3 重组腺病毒组心肌细胞表面积、[3 H]-Leu 掺入率及 Raf-1 蛋白表达明显低于 Ang II 组(均 2 P<0.05); pAd-siCon 与空白对照组相比无明显差异(图 6,表 1)。



1. pAdTrack-siCon; 2. pAdTrack-siRaf-1-1;

3. pAdTrack-siRaf-1-2; 4. pAdTrack-siRaf-1-3

图1 Kpn I和 Bgl Ⅱ 双酶切鉴定重组穿梭质粒

1. pAd-siCon; 2. pAd-siRaf-1-1; 3. pAd-siRaf-1-2; 4. pAdT-siRaf-1-3

 $\textbf{Fig. 1} \quad \mathrm{pAdTrack\text{-}siRaf\text{-}1} \ \mathrm{identified} \ \mathrm{by} \ \mathrm{Kpn} \ \mathrm{I} \ \mathrm{and} \ \mathrm{Bgl} \ \mathrm{II} \ \mathrm{digestion}$

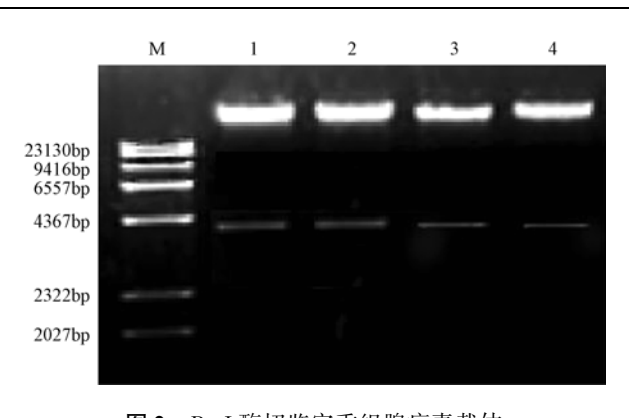
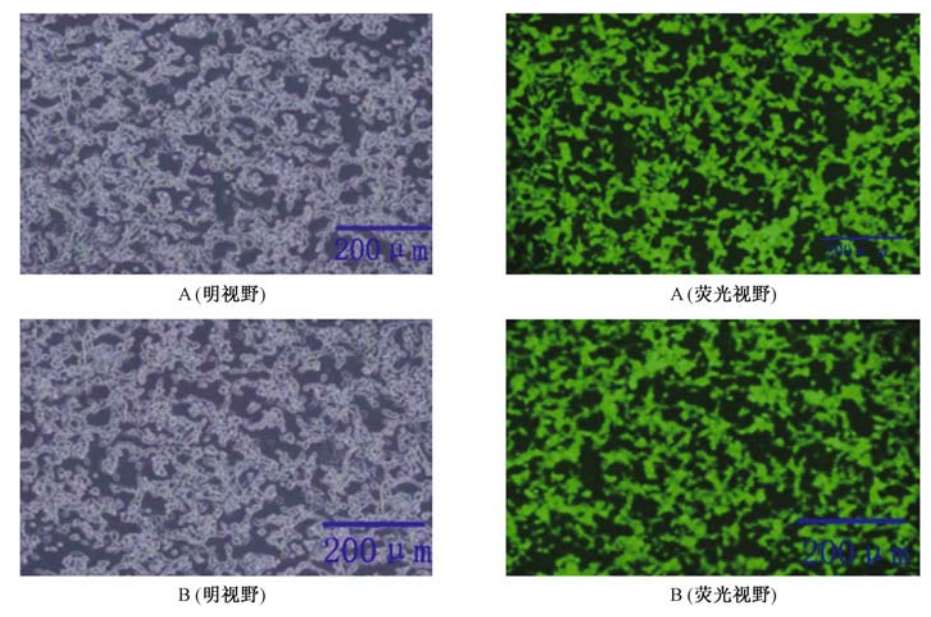


图 2 PacI 酶切鉴定重组腺病毒载体

Fig. 2 pAd-siRaf-1 identified by PacI digestion



A. pAd-siRaf-1; B. pAd-siCon

图 3 pAd-siRaf-1 及 pAd-siCon 重组腺病毒包装和转导 293 细胞(标尺 = 200μm)

 $\textbf{Fig. 3} \quad \text{pAd-siRaf-1 and pAd-siCon recombinant adenovirus packaged and transduced into 293 cells (Bar = 200)}$

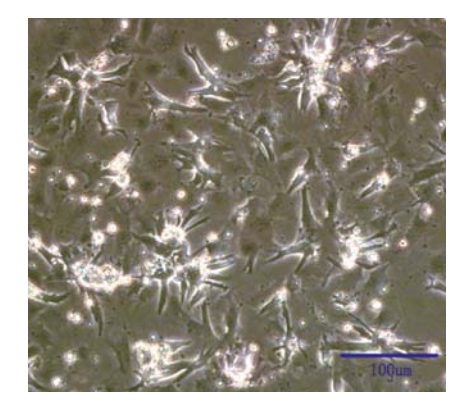


图 4 培养 3 d 的心肌细胞(标尺 = 100 μm)

Fig. 4 Cardiomyocytes cultured for 3 days (Bar = $100 \mu m$)

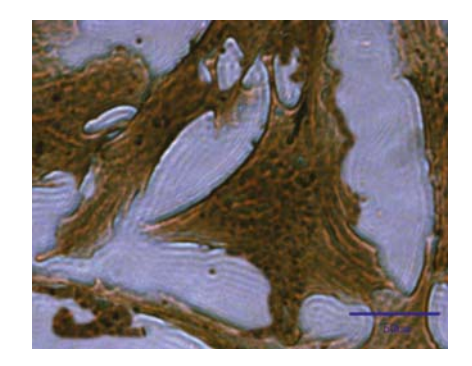


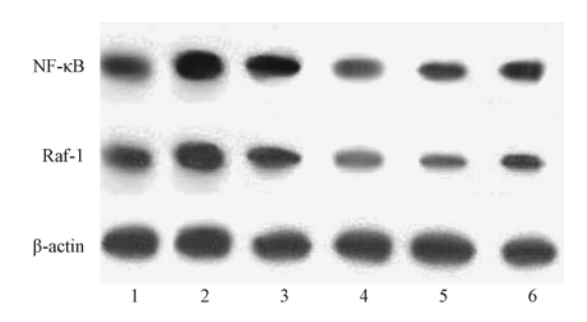
图 5 心肌细胞 S-P 染色(标尺 = 50 μm)

Fig. 5 Cardiomyocytes with S-P staining (Bar = $50 \mu m$)

the surface area and $[11]$ -red incorporation of the cardiomyocyces $(x\pm s, n - 0)$						
组别 Groups	细胞表面积 Surface area(μm²)	[³H]-leu 掺人率 [³H]-leu incorporation (dpm)	Raf-1 蛋白表达 Expression of Raf-1 protein	NF-κB 蛋白表达 Expression of NF-κB protein		
Control	567. 48 ± 6. 24	151. 23 ± 11. 34	0.53 ± 0.04	0. 74 ± 0. 04		
Ang II	1421. 17 ± 13. 83 **	387. 47 ± 21. 13 **	0. 91 ± 0. 07 **	1.51 ± 0.11 **		
Ang II + pAd-siCon	1572. 38 \pm 9. 24 **	359. 68 ± 14. 31 **	$0.86 \pm 0.03^{\#}$	1. 35 \pm 0. 08 **		
Ang II + pAd-siRaf-1-1	738. 22 \pm 9. 39 * ##	212. 41 ± 16. 21 * ##	0. 29 ± 0. 02 **##	0.51 ± 0.06 * ##		
Ang II + pAd-siRaf-1-2	1092. 24 ± 15. 32 **#	317. 58 \pm 18. 48 **#	0.35 ± 0.05 * ##	0.64 ± 0.05 ##		
Ang II + pAd-siRaf-1-3	1191. 41 ± 16. 52 **#	328. 24 ± 13. 22 **#	0.55 ± 0.04 ##	0.75 ± 0.07 ##		

表 2 重组腺病毒对心肌细胞 Raf-1,NF-κB 蛋白表达、表面积及[³H]-leu 掺入率的影响 **Tab.2** Effect of recombinant adenovirus on the expression of Raf-1 and NF-κB proteins, the surface area and [³H]-leu incorporation of the cardiomyocytes (x ± s, n = 6)

^{*} P < 0.05, ** P < 0.01, Compared with the control group; $^{\#}P < 0.05$, $^{\#\#}P < 0.01$ Compared with the Ang IIgroup.



1. 对照组;2. Ang II 组;3. Ang II + pAd-siCon group; 4~6. Ang II + pAd-siRaf-1-1~3 组

图 6 重组腺病毒对心肌细胞中 Raf-1 及 NF-κB 蛋白表达的影响

Fig. 6 The expression of Raf-1 and NF-κB after the cardiomyocytes were transduced with pAd-siRaf-1 and pAd-siCon recombinant adenovirus

3 讨论

RNA 干扰(RNA interference, RNAi)是一种新近发展起来的能有效阻断基因表达的技术。本研究以含有表达绿色荧光蛋白基因的 pAdTrack-CMV为穿梭载体,能方便的观察转染效果,利用缺失了腺病毒 E1 区基因骨架质粒 pAdeasy-1,避免腺病毒对靶细胞的损害;采用细菌内同源重组 AdEasy 系统,构建针对 Raf-1 基因的 siRNA 重组腺病毒载体,应用基因转染技术,将其转染入 293 细胞,在该细胞中成功地包装成含 siRaf-1 的腺病毒颗粒后,经纯化浓缩,滴度达到 3.8 × 10¹⁰ pfu /mL,转导人大鼠心肌细胞,有效地沉默了 Raf-1 的表达,而无关序列构建的阴性对照病毒,转染效率与干扰病毒相当,但不影响 Raf-1 表达。

心肌肥厚是心室重构的重要病理学特征,与心肌缺血、心力衰竭等的发生发展密切相关,心肌细胞是心肌肥厚的主要效应细胞,表现为心肌细胞肥大。Raf-1蛋白是由 raf 基因编码的蛋白产物,由

648个氨基酸组成,有多个丝氨酸磷酸化位点和酪氨酸磷酸化位点^[5,6],RAS/RAF/MEK/ERK 信号转导过程与细胞生长、细胞周期停滞有关,对培养心肌细胞的肥厚反应有重要的调节作用^[7],但也有报道提示抑制 RAS/RAF 激活并不能减轻心肌细胞肥大反应。本实验通过构建 Raf-1 基因重组腺病毒siRNA 研究其对心肌肥大的影响,发现 pAd-siRaf-1-1~3 重组腺病毒均能显著抑制 Ang II 诱导的心肌细胞表面积及[³H]-Leu 掺入率,提示 pAd-siRaf-1重组腺病毒确具有抗心肌细胞肥大的作用,从基因水平证实 Raf-1 对心肌细胞肥大具有促进作用。

NF-κB 为转录因子蛋白家族成员,静息状态下, NF-κB 与其抑制蛋白以非活性的形式存在于胞浆 中。当细胞因子、LPS等刺激时, NF-κB激酶复合 物 IKKs (κB kinases)被激活, 使κB 经快速磷酸 化、泛素化后降解、暴露出 NF-κB 的 DNA 结合域, NF-κB 发生核移位并与相应靶基因上特定的 κB 序 列结合, 启动靶基因的转录[8], Raf- 1/MEK / MAPK 是激活 IKK 的主要信号通路^[9,10]。研究表明 NF-κB 的激活参与糖尿病患者心肌细胞的凋亡,且 其对细胞凋亡的调控作用在早期有抑制细胞凋亡 而随着时间推移,NF-κB 的增多也引起了大量炎性 因子的产生,其诱导细胞凋亡的作用增强,故细胞 凋亡增多。大鼠心肌纤维化模型及体外培养的心 肌成纤维细胞研究均证实,抑制 NF-kB 可以抑制成 纤维细胞的增殖,进而抑制心肌纤维化[11,12], RAF/NF-κB 信号转导对心肌肥厚的作用尚不明确。 本实验结果显示 Raf-1 基因重组腺病毒 siRNA 载体 的能显著下调心肌细胞 Raf-1 及 NF-κB 蛋白表达, pAd-siRaf-1-1 的作用较 pAd-siRaf-1-2~3 作用更为 明显,说明 pAd-siRaf-1 对心肌肥大的抑制作用与下 调 Raf-1 表达,进而抑制 NF-κB 表达有关,且对心肌 细胞沉默 Raf-1 作用肥大抑制效果最佳的为 pAdsiRaf-1-1,证实 RAF/NF-κB 信号转导在心肌肥厚的 过程中不仅有成纤维细胞增殖的参与,心肌细胞肥 大参与了此过程。

总之, Raf-1 腺病毒 siRNA 能有效抑制心肌肥大,且其机制与下调 Raf-1 蛋白,进而抑制 RAF/NF-κB 信号转导有关,通过在基因水平高选择性地阻断 Raf-1、NF-κB 的药物也为治疗心肌肥厚提供了新思路。

参考文献:

- [1] Robbs BK, Lucena PI, Viola JP. The transcription factor NFAT1 induces apoptosis through cooperation with Ras/Raf/MEK/ERK pathway and upregulation of TNF-α expression [J]. Biochim Biophys Acta, 2013, 1833(8); 2016 2028.
- [2] Lv C, Sun W, Sun H, et al. Asperolide A, a marine-derived tetranorditerpenoid, induces G2/M arrest in human NCI-H460 lung carcinoma cells, is mediated by p53-p21 stabilization and modulated by Ras/Raf/MEK/ERK signaling pathway [J]. Mar Drugs, 2013, 11(2); 316-331.
- [3] Yamaguchi O, Watanabe T, Nishida K, et al. Cardiac-specific disruption of the c-raf-1 gene induces cardiac dysfunction and apoptosis [J]. J Clin Invest, 2004, 114(7):937-943.
- [4] Clerk A, Bogoyevitch MA, Andersson MB, et al. Differential activation of protein kinase C isoforms by endothelin-1 and phenylephrine and subsequent stimulation of p42 and p44 mitogen-activated protein kinases in ventricular myocytes cultured from neonatal rat hearts [J]. J Biol Chem, 1994, 269: 32848 – 32857.

- [5] Lorenz K, Schmitt J P, Vidal M, et al. Cardiac hypertrophy: targeting Raf/MEK/ERK1/2 sign-aling[J]. Int J Biochem Cell Biol, 2009,41(12):2351-2355.
- [6] Pfleiderer P, Sumandea MP, Rybin VO, et al. Raf-1: a novel cardiac troponin T kinase [J]. J Muscle Res Cell Motil. 2009, 30(1-2): 67-72.
- [7] 屈春生,陈莉萍,李道麟. 替米沙坦对大鼠心肌肥厚组织中 Raf/MEK/ERK 信号通路的影响 [J]. 重庆医科大学学报, 2013,38(11):1344-1347.
- [8] Lee M, Kim JY, Anderson WB, et al. Src tyrosine kinase inhibitor PP2 markedly enhances Ras-independent activation of Raf-1 protein kinase by phorbolmyristate ace-tate and H₂O₂[J]. J Biol Chem, 2004, 279(47): 48692 - 48701.
- [9] Hamid T, Gu Y, Ortines RV, et al. Divergent tumor necrosis factor receptor related remodeling responses in heart failure: role of nuclear factor-kappa B and inflammatory activation [J]. Circulation, 2009, 119: 1386-1397.
- [10] 祝文静, 刘畅, 孟林燕, 等. 核因子-κB 和 caspase-3 在高糖 诱导的心肌细胞代谢记忆中的表达 [J]. 广东医学, 2012, 33; 323 325.
- [11] Wu M, Han M, Li J, et al. 17beta-estradiol inhibits angiotensin II induced cardiac myofibroblast differentiation [J]. Eur J Pharmacol, 2009, 616: 155 – 159.
- [12] Young D, Popovic ZB, Jones WK, et al. Blockade of NF-kappaB using I kappa B alpha dominant-negative mice ameliorates cardiac hypertrophy in myotrophin-overexpressed transgenic mice [J]. J Mol Biol, 2008, 381(3): 559 568.

[修回日期]2016-02-22

(上接第13页)

建立 [J]. 中国实验动物学报, 2013, 21(2): 34-39.

- [4] Daugherity EK, Balmus G, Saei AA, et al. The DNA damage checkpoint protein ATM promotes hepatocellular apoptosis and fibrosis in a mouse model of non-alcoholic fatty liver disease [J]. Cell Cycle, 2012, 11(10): 1918 – 1928.
- [5] Cheng Q, Li N, Chen MQ, et al. Cyclooxygenase-2 promotes hepatocellular apoptosis by interacting with TNF-α and IL-6 in the pathogenesis of nonalcoholic steatohepatitis in rats [J]. Digest Dis Sci, 2013, 58(10): 2895 – 2902.
- [6] Kathirvel E, Morgan K, French SW, et al. Acetyl-l-carnitine and lipoic acid improve mitochondrial abnormalities and serum levels of liver enzymes in a mouse model of nonalcoholic fatty liver disease [J]. Nutrit Res, 2013, 33(11): 932 - 941.
- [7] García RC, Baulies A, Mari M, et al. Mitochondrial dysfunction in non-alcoholic fatty liver disease and insulin resistance: Cause or consequence? [J]. Free Radical Res, 2013, 47 (11): 854 -868.
- [8] 郑全喜, 王昆, 刘超. 非酒精性脂肪肝病动物模型的研究进

- 展[J]. 中国实验方剂学杂志, 2013, 19(1): 357-360.
- [9] 楼琦, 石巧娟, 郭红刚, 等. 非酒精性脂肪肝大鼠脂质代谢及病理变化的动态观察 [J]. 中国比较医学杂志, 2012, 22(3): 7-10.
- [10] 邓丽丽,藏家娜,应华忠,等. 热休克蛋白70在兔非酒精性脂肪肝纤维化过程中的作用[J]. 实验动物与比较医学,2014,34(2):107-111.
- [11] Thapaliya S, Wree A, Povero D, et al. Caspase 3 inactivation protects against hepatic cell death and ameliorates fibrogenesis in a diet-induced NASH model [J]. Digest Dis Sci, 2014, 59: 1197 – 1206.
- [12] Cavalcanti BC, Costa PM, Carvalho AA, et al. Involvement of intrinsic mitochondrial pathway in neosergeolide-induced apoptosis of human HL-60 leukemia cells: the role of mitochondrial permeability transition pore and DNA damage [J]. Pharmaceut Biol, 2012, 50(8): 980-993.

[修回日期]2016-01-22